



Solid State Physics

Chapter 2

Lecturers:

- Dr. M. A. Mansouri Birjandi
- Hossein Teymoori

Dept. of Electrical and Computer Engineering
University of Sistan and Baluchestan (USB)

h.teymoori@pgs.usb.ac.ir
hn.teymoori@gmail.com

February, 2017

1395

فیزیک الکترونیک

مرجع:

فیزیک الکترونیک

Streetman, Ben G.

ترجمه: دکتر غلامحسن روئین تن

و مهندس سعید صمدی

فصل ۲

اتمها و الکترونها

رئوس مطالب

۱- مقدمه ای بر مدل‌های فیزیکی

۲- مشاهدات تجربی

۲-۱- اثر فوتوالکتریک و آزمایش دو شکاف یانگ

۲-۲- طیف اتمی

۳- مدل بوهر

۴- مکانیک کوانتومی

۴-۱- احتمال و اصل عدم قطعیت

۴-۲- معادله موج شرودینگر

۴-۳- مسئله چاه پتانسیل

۵- ساختار اتمی و جدول تناوبی

۵-۱- اتم هیدروژن

۵-۲- جدول تناوبی

هدف:

- بررسی برخی از خواص مهم الکترون، با تاکید ویژه بر ساختار الکترونی اتمها، و برهم کنش اتمها و الکترونها با برانگیختگی هایی همچون جذب نور و نشر نور.
- بررسی انرژی های الکترون در یک اتم، برای پایه ریزی اساس درک چگونگی تأثیر شبکه بر الکترونهای شرکت کننده در عبور جریان در درون یک جامد.

مقدمه‌ای بر مدل‌های فیزیکی

هدف اولیه از ارائه مدل، امکان استفاده از اطلاعات بدست آمده از مشاهدات فعلی، برای درک تجربیات جدید است. مفیدترین مدل‌ها بصورت ریاضی بیان می‌شوند، بگونه‌ای که **توصیف کمی** تجربیات را بتوان به اختصار و با کمک قوانین شناخته شده انجام داد.

در دهه ۱۹۲۰ نیاز به ارائه نظریه جدیدی برای توصیف پدیده‌ها در مقیاس اتمی احساس شد. مشاهدات انجام شده از برخی آزمایشها نشان می‌داد که بسیاری از رخدادهای شامل الکترون و اتم، از قوانین مکانیک کلاسیک (مکانیک نیوتونی) پیروی نمی‌کنند.

بنابراین برای توصیف رفتار ذرات در مقیاس اتمی مفهوم نوینی از مکانیک، موسوم به مکانیک کوانتومی پایه ریزی شد.

مکانیک کوانتومی از دو دیدگاه متفاوت ارائه شد:

۱- **مکانیک ماتریسی**، توسط **هایزنبرگ**، که از ریاضی ماتریسها بهره گرفته است.

۲- **مکانیک موجی**، توسط **شروع دینگر**، که با استفاده از یک معادله موج معرفی شده است.

با اینحال فراتر از شکل ظاهری، اصول اساسی هردو رویکرد یکسان است و نتایج هردو کاملاً مشابه است.

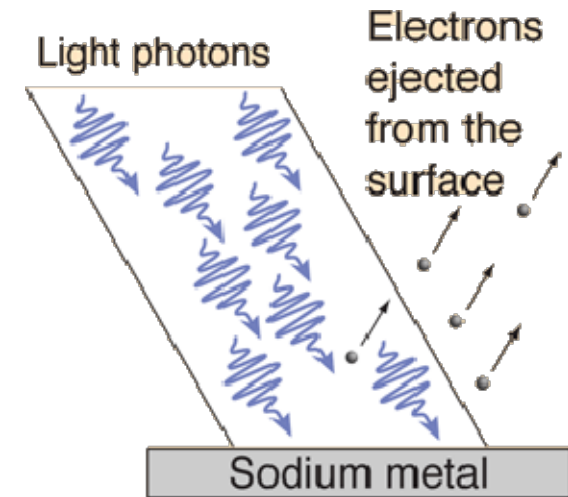
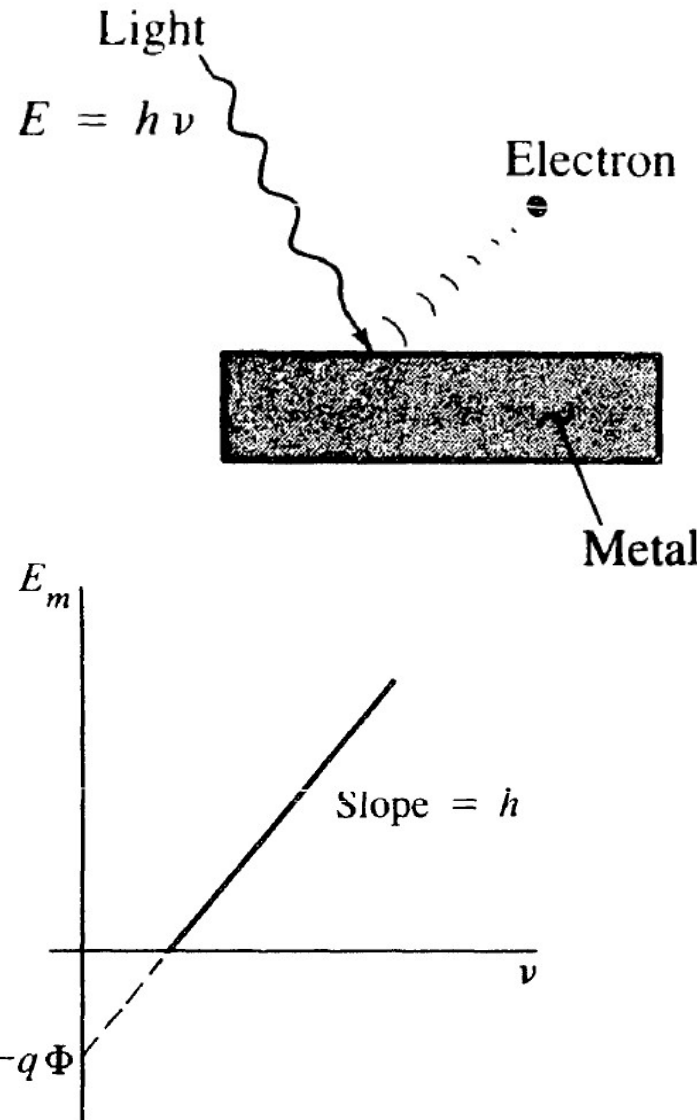
در اینجا بحث را روی مکانیک موجی متمرکز می‌کنیم زیرا پاسخ برخی مسائل ساده را با ریاضیات کمتر بدست می‌دهد.

آزمایشها بی که به ارائه نظریه کوانتومی منجر شد و با مکانیک کلاسیک قابل توجیه نبود، در ارتباط با طبیعت نور و رابطه انرژی نوری با انرژی الکترونها درون اتمها بودند.

۱- اثر فوتوالکتریک

در این آزمایش که توسط اینشتین انجام شد بوضوح طبیعت گستگی(کوانتش) نور نشان داده شد.

این آزمایش بر اساس جذب انرژی نور بوسیله الکترونها در یک فلز و رابطه بین مقدار انرژی جذب شده و فرکانس نور قرار داشت.



Photon energy

$$E = h\nu$$

explains the experiment
and shows that light
behaves like particles.

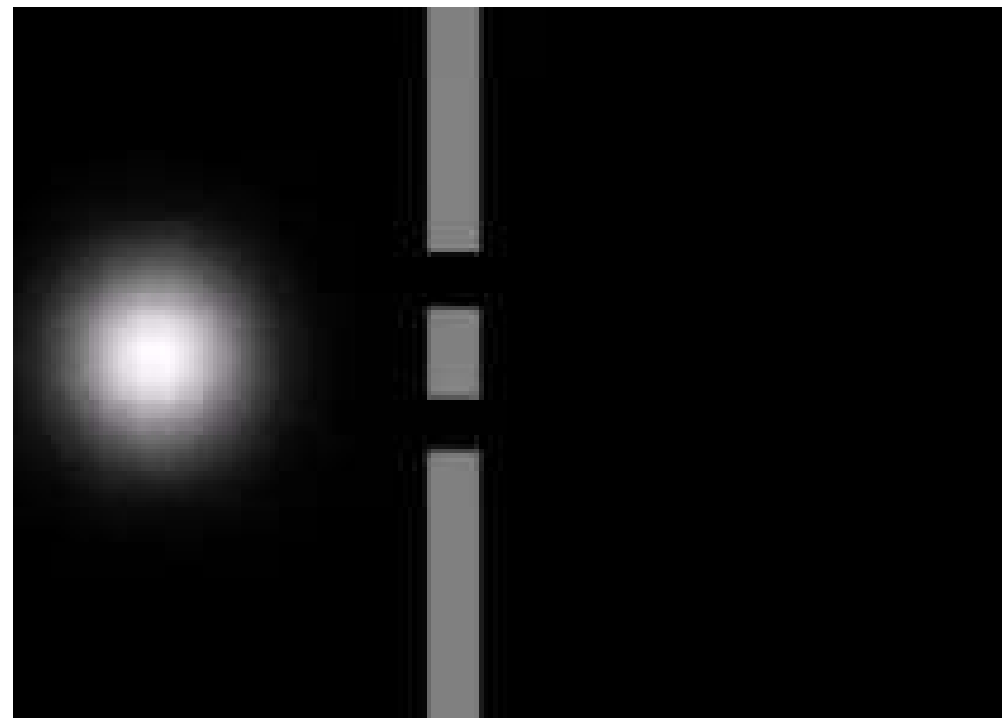
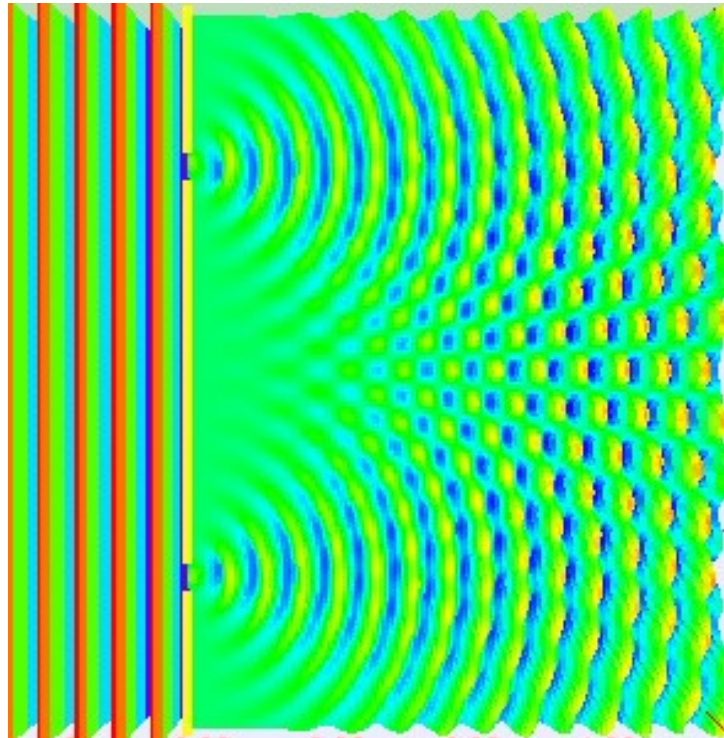
photoelectric_en.jar

$$E_m = h\nu - q\Phi$$

$q\Phi$: تابع کار (Work Function)، نمایانگر حداقل انرژی لازم برای خروج الکترون از سطح فلز (بر حسب ژول)

برای تعیین ماکزیمم انرژی الکترونهای خارج شده، پتانسیل را به مقداری می‌رسانیم که جریان مدار قطع شود، آنگاه انرژی E_m بدست می‌آید.
این آزمایش بر این نکته دلالت دارد که نور باید طبیعت ذره‌ای داشته باشد تا بتواند ذره دیگری را از سطح فلز جدا کند.

$$h = 6.63 \times 10^{-34} \text{ J-s}$$



این آزمایش بر طبیعت موجی نور دلالت دارد، زیرا اگر نور طبیعت ذره ای می داشت بعد از عبور از دو شکاف باید فقط دو نقطه روشن روی پرده دیده می شد.

بنابراین نور هم طبیعت ذره ای و هم طبیعت موجی دارد و در حالت کلی میتوان گفت هم ذره است و هم موج، و نه ذره است نه موج! بلکه حالت دیگری است که اصطلاحی نمی توان برای آن بکار برد.

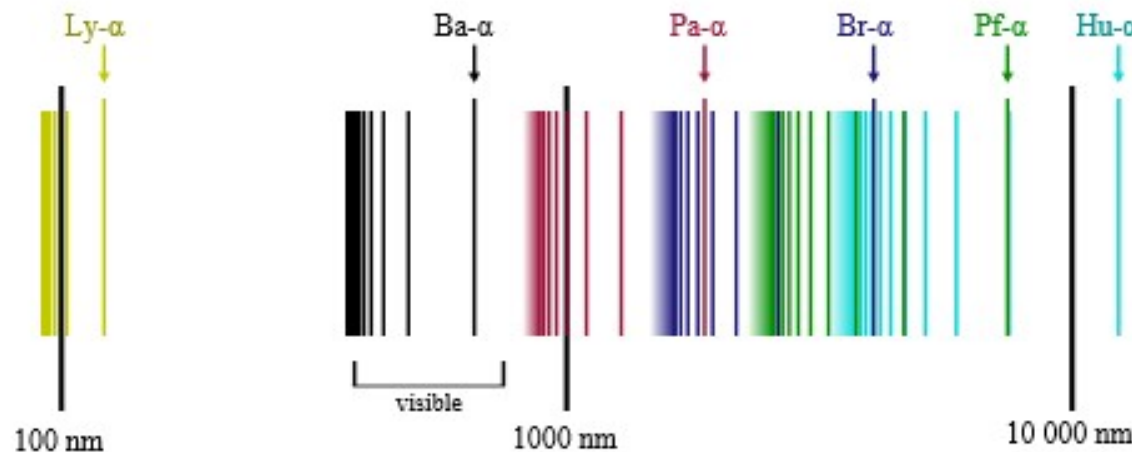
واحدهای کوانتیده انرژی نور را به صورت بسته های متمرکز انرژی موسوم به **فوتون** در نظر می گیریم. انرژی فوتونها از رابطه $E = h\nu = h\frac{c}{\lambda}$ بدست می آید.

یکی از سودمندترین آزمایش‌های فیزیک نوین، تحلیل جذب و نشر نور بوسیله اتمها است.

مثال: اگر در یک گاز، تخلیه الکتریکی ایجاد شود اتم‌ها شروع به انتشار نور با طول موج مشخصه گاز می‌نمایند. (مثلاً در یک تابلو نئون)

مشاهده می‌شود که شدت نور منتشره بر حسب طول موج بجای توزیع پیوسته از طول موجها، بصورت مجموعه‌ای از خطوط بدست می‌آید.

در اوایل ۱۹۰۰ طیف نشری چندین اتم بدست آمده است. طیف نشری اتم هیدروژن که در ابتدا توسط سه دانشمند بنامهای لیمان، بالمر و پاشن بدست آمده است بصورت زیر است:



پس از بدست آوردن طیف هیدروژن، دانشمندان به روابط جالبی بین خطوط طیف پی برداشتند:

Lyman: $\nu = cR \left(\frac{1}{1^2} - \frac{1}{n^2} \right), \quad n = 2, 3, 4, \dots$

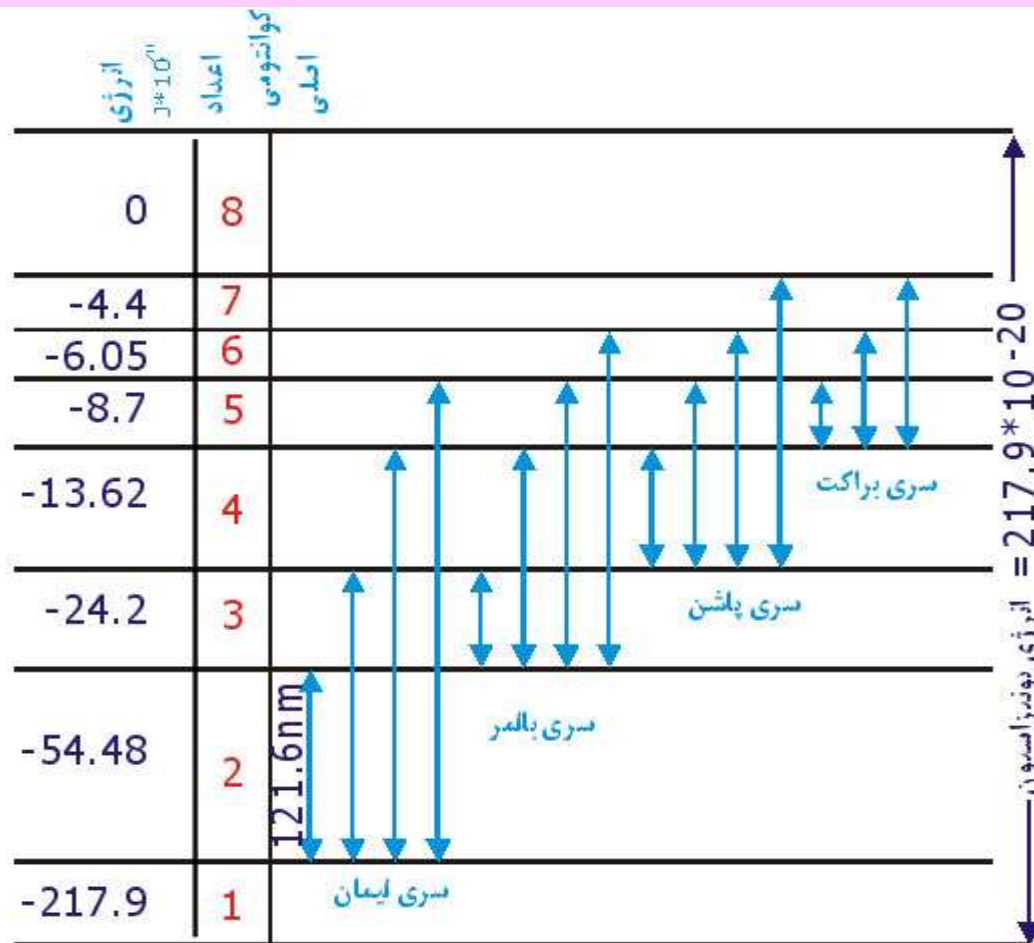
Balmer: $\nu = cR \left(\frac{1}{2^2} - \frac{1}{n^2} \right), \quad n = 3, 4, 5, \dots$

Paschen: $\nu = cR \left(\frac{1}{3^2} - \frac{1}{n^2} \right), \quad n = 4, 5, 6, \dots$

($R = 109,678 \text{ cm}^{-1}$) : ثابت ریدربرگ

طیف اتمی هیدروژن

روابط بین انرژی فotonها در طیف هیدروژن:
هر انرژی میتواند با جمع انرژی فotonهای دیگر در طیف بدست آید.



نمایش جهش‌های الکترونی سری پنجگانه خطوط طیف نشری اتم هیدروژن

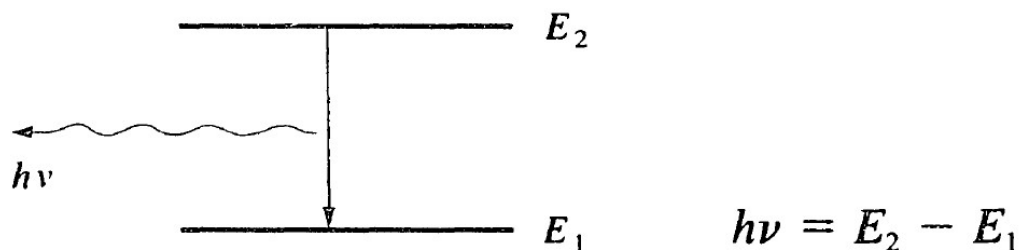
مدل اتمی بوهر

با توجه به نتایج آزمایش‌های طیف نشری، نیلز بوهر مدلی برای اتم هیدروژن بر اساس ریاضی منظومه شمسی ارائه داد. براساس **مدل بوهر**، الکترون می‌تواند به یکی از مدارهای بیرونی برانگیخته شود و سپس به مدارهای داخلی برگشته و انرژی مربوط به یکی از خطهای طیف را پس دهد.

فرضهای بوهر در برپایی این مدل:

۱- الکترونها در مدارهای دایره‌ای پایدار و معینی در اطراف هسته قرار دارند. با این فرض، نظریه الکترومغناطیس کلاسیک مبنی بر اینکه هر ذره باردار در صورتیکه شتاب زاویه‌ای داشته باشد، انرژی تابش می‌کند، رد می‌شود. زیرا اگر در اینجا الکtron تابش کند، انرژی تلف کرده و باید به شکل مارپیچ به طرف هسته سقوط نماید و در نتیجه در مدار پایدار نخواهد بود.

۲- الکترون می‌تواند به مداری با انرژی بیشتر یا کمتر رفته و انرژی برابر با اختلاف سطوح انرژی، بدست آورد یا از دست بدهد. (با جذب و نشر فوتونی با انرژی $h\nu$)

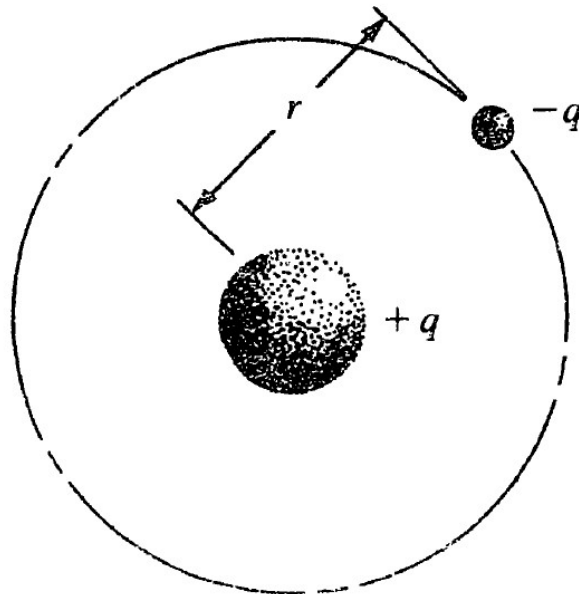


مدل اتمی بوهر

3- اندازه حرکت زاویه ای P_θ در یک مدار همواره مضرب صحیحی از ثابت پلانک تقسیم بر 2π است. ($\hbar = h/2\pi$)

فرض زیر برای دسترسی به نتایج مشاهده شده در طیف هیدرژن ضروری است.

$$p_\theta = n\hbar, \quad n = 1, 2, 3, 4, \dots$$





با توجه به پایداری الکترون در مدار داریم:

نیروی مرکزگرا = نیروی الکترواستاتیکی بین بارها

$$-\frac{q^2}{Kr^2} = -\frac{m\mathbf{v}^2}{r} \quad (1)$$

$$K = 4\pi\epsilon_0$$

$$\mathbf{p}_\theta = m\mathbf{v}r = \mathbf{n}\hbar \quad (2)$$

سرعت الکترون: \mathbf{v}
جرم الکترون: m

$$m^2\mathbf{v}^2 = \frac{\mathbf{n}^2\hbar^2}{r_n^2} \quad (3)$$

$$\frac{q^2}{Kr_n^2} = \frac{1}{mr_n} \cdot \frac{\mathbf{n}^2\hbar^2}{r_n^2} \quad \text{از (1) و (3)}$$

$$r_n = \frac{Kn^2\hbar^2}{mq^2} \quad (4)$$

شعاع مدار n ام:

محاسبه انرژی کل برای بدست آوردن انرژی گذر از مداری به مدار دیگر:
از رابطه (۲) داریم:

$$v = \frac{n\hbar}{mr_n} \quad (5)$$

$$v = \frac{n\hbar q^2}{K n^2 \hbar^2} = \frac{q^2}{Kn\hbar} \quad \text{از (4) و (5)}$$

$$\text{K.E.} = \frac{1}{2}mv^2 = \frac{mq^4}{2K^2n^2\hbar^2}$$

$$\text{P.E.} = -\frac{q^2}{Kr_n} = -\frac{mq^4}{K^2n^2\hbar^2}$$

$$E_n = \text{K.E.} + \text{P.E.} = -\frac{mq^4}{2K^2n^2\hbar^2}$$

انرژی جنبشی الکترون:

انرژی پتانسیل الکترون (حاصلضرب نیروی الکترواستاتیک در فاصله بین بارها):

انرژی کل
الکترون:



مهمترین آزمون درستی مدل اینستکه یا اختلاف انرژی بین مدارها با انرژی فotonهای مشاهده شده در طیف هیدروژن برابر خواهد بود؟

$$E_{n2} - E_{n1} = \frac{mq^4}{2K^2\hbar^2} \left(\frac{1}{n_1^2} - \frac{1}{n_2^2} \right)$$

$$\nu_{21} = \left[\frac{mq^4}{2K^2\hbar^2 h} \right] \left(\frac{1}{n_1^2} - \frac{1}{n_2^2} \right)$$

جمله داخل کروشه برابر حاصلضرب ثابت ریدربرگ در سرعت نور است، و بنابراین نتایج با نتایج آزمایشها یکسان است.

تا اینجا مدل بوهر یک مدل خوب برای گذارهای الکترونی در درون اتم هیدروژن محاسب می‌شود. ولی این مدل در برگیرنده بسیاری از نکات ظریف نیست. از جمله، شواهد تجربی نمایانگر تعدادی شکاف بین ترازها علاوه بر ترازهای پیش بینی شده در مدل بوهر می‌باشد. همچنین برای تعمیم مدل به اتمهای پیچیده‌تر با مشکل مواجه می‌شویم و بنابراین نظریه جامعتری لازم است.

با این وجود مدل بوهر گام مهمی در جهت پیشرفت به سوی نظریه کوانتمی بود. در مدل بوهر مفهوم کوانتیدگی الکترونها در ترازهای انرژی مجاز و معین و رابطه بین انرژی فoton و گذرهای بین ترازها اثبات شد.

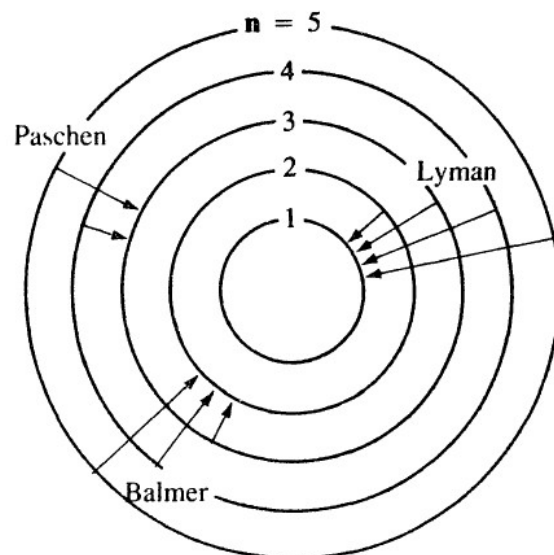


Figure 2-4
Electron orbits and
transitions in the
Bohr model of the
hydrogen atom.
Orbit spacing is not
drawn to scale.

همانطور که قبلاً اشاره شد مکانیک کوانتومی از دو دیدگاه متفاوت، یکی رویکرد ارائه شده توسط هایزنبرگ و دیگری توسط شروдинگر ارائه شد. اینجا بحث را روی مکانیک موجی شروдинگر متمرکر می کنیم.

احتمال و اصل عدم قطعیت:

در مقیاس اتمی، توصیف کاملاً دقیق رویدادهای در برگیرنده ذرات غیر ممکن است. در عوض باید از مقادیر متوسط (مقادیر انتظاری و چشمداشت) کمیاتی مانند موقعیت، اندازه حرکت و انرژی یک ذره مانند الکترون سخن بگوییم.

اصل عدم قطعیت هایزنبرگ:

طبق این اصل، موقعیت و اندازه حرکت یک ذره را، بطور همزمان، بصورت دقیق نمی توان تعیین کرد. همواره نامساوی زیر در مورد خطای اندازه گیری موقعیت و اندازه حرکت ذره وجود دارد:

$$(\Delta x)(\Delta p_x) \geq \hbar$$

یعنی اگر خواسته باشیم خطای اندازه گیری موقعیت یک ذره را کم کنیم، خطای اندازه حرکت افزایش می یابد و برعکس. یا بطور معادل وقتی دقت اندازه گیری موقعیت را افزایش دهیم، دقت اندازه گیری اندازه حرکت را از دست می دهیم.



اصل عدم قطعیت Uncertainty Principal

همچنین عدم قطعیت انرژی با عدم قطعیت زمان توسط نامساوی زیر بهم مربوط میشوند:

$$(\Delta E)(\Delta t) \geq \hbar$$

بنابراین طبق اصل عدم قطعیت، نمی‌توان با اطمینان از موقعیت یک ذره سخن گفت بلکه باید در پی احتمال یافتن الکترون در موقعیت معین باشیم. بنابراین یکی از نتایج مهم مکانیک کوانتومی اینست که می‌توان یک تابع چگالی احتمال برای ذره در یک محیط معین بدست آورد و از آن برای تعیین مقادیر انتظاری کمیات مهم مانند موقعیت، اندازه حرکت و انرژی استفاده کرد.

معادله موج شرودینگر با اعمال مفاهیم کوانتومی به معادلات مکانیک کلاسیک بدست می‌آید. در مکانیک کوانتومی هر ذره در یک سیستم فیزیکی توسط یک تابع موج $\Psi(x, y, z, t)$ مشخص می‌شود. به محض یافتن تابع موج Ψ برای یک ذره، می‌توان مقادیر متوسط موقعیت، انرژی و اندازه حرکت آنرا در محدوده اصل عدم قطعیت محاسبه کرد. پس قسمت اصلی کار در محاسبات کوانتومی، حل Ψ تحت شرایط تحمیل شده توسط یک سیستم فیزیکی خاص، است.

فرضیه‌های اساسی زیر در بدست آوردن تابع موج باید در نظر گرفته شود:

- ۱- تابع موج $\Psi(x, y, z, t)$ و مشتق فضایی آن $\partial\Psi/\partial x + \partial\Psi/\partial y + \partial\Psi/\partial z$ باید پیوسته و معین باشند.
- ۲- هنگام کار با کمیات مکانیک کوانتومی از قبیل انرژی E و اندازه حرکت P باید آنها را با **عملگرهای مکانیک کوانتومی** جایگزین کنیم که طبق جدول زیر انجام می‌پذیرد.

Classical variable	Quantum operator
x	x
$f(x)$	$f(x)$
$p(x)$	$\frac{\hbar}{j} \frac{\partial}{\partial x}$
E	$-\frac{\hbar}{j} \frac{\partial}{\partial t}$

احتمال یافتن ذره با تابع ψ در حجم $dxdydz$ برابر $\psi^* \psi dxdydz$ است و مسلماً چون ذره در نقطه ای از فضا وجود دارد پس:

$$\int_{-\infty}^{\infty} \Psi^* \Psi dx dy dz = 1$$

شرط بهنگارش:

تابع $\psi^* \psi$ همان تابع چگالی احتمال است.

معادله مستقل از زمان موج شرودینگر در یک بعد به صورت زیر است:

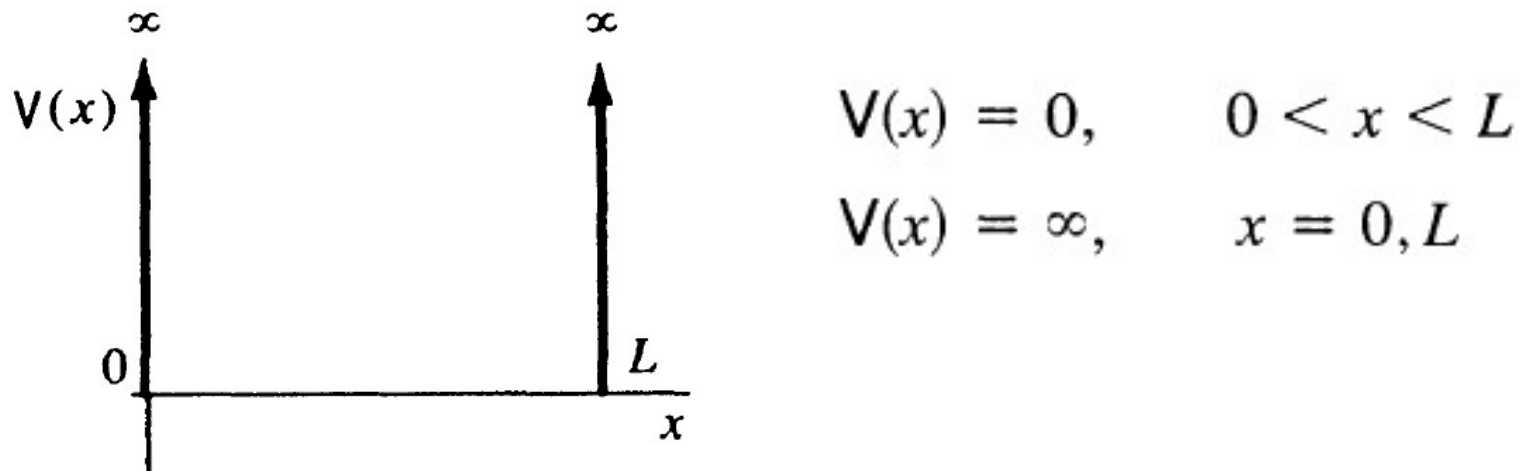
$$\frac{d^2\psi(x)}{dx^2} + \frac{2m}{\hbar^2} [E - V(x)] \psi(x) = 0$$

در این معادله، m جرم ذره، E انرژی ذره و $V(x)$ اتناسیل ناشی از یک میدان الکترواستاتیک یا میدان مغناطیسی، می باشد.

معادله موج شرودینگر اساس مکانیک موجی را تشکیل می دهد.
در حالت کلی و در حالت سه بعدی که معادله شرودینگر تابع زمان و مکان باشد، معادله به صورت زیر است:

$$-\frac{\hbar^2}{2m} \nabla^2 \Psi + V\Psi = -\frac{\hbar}{j} \frac{\partial \Psi}{\partial t}$$

یافتن پاسخهای معادله شرودینگر برای بیشتر میدانهای پتانسیل واقعی بسیار مشکل است. با کمی تلاش می‌توان مسئله را برای اتم هیدروژن حل کرد، ولی پاسخ برای اتمهای پیچیده بسختی بدست می‌آید. ساده‌ترین مسئله، **چاه پتانسیل با مرزهای نامحدود** است.



هدف بدست آوردن معادله موج برای **ذره محبوس در چاه پتانسیل** است.

حل) معادله موج را برای ذره در ناحیه چاه پتانسیل می‌نویسیم، چون در این ناحیه است پس:

$$\frac{d^2\psi(x)}{dx^2} + \frac{2m}{\hbar^2} E \psi(x) = 0, \quad 0 < x < L$$



مسئله چاه پتانسیل

پاسخهای ممکن برای این معادله دیفرانسیل بصورت زیر است:

$$\psi_1(x) = A \sin kx$$

و

$$\psi_2(x) = B \cos kx$$

$$k = \frac{\sqrt{2mE}}{\hbar}$$

که در آن

با توجه به اینکه تابع موج و مشتق آن باید در مرزها پیوسته باشد و از آنجا که ذره نمی‌تواند از سد بینهایت عبور کند، در نواحی $x < 0$ و $x > L$ $\psi = 0$ است. پس:

$$\psi(0) = 0 \Rightarrow B = 0$$

و

$$\psi(L) = 0 \Rightarrow A \sin kL = 0 \Rightarrow kL = n\pi \Rightarrow k = \frac{n\pi}{L} \quad , n = 1, 2, 3, \dots$$

از دو رابطه ای که برای k در دو اسلاید قبل داشتیم، بدست می آید:

$$\frac{\sqrt{2mE_n}}{\hbar} = \frac{n\pi}{L}$$

$$E_n = \frac{n^2\pi^2\hbar^2}{2mL^2}$$

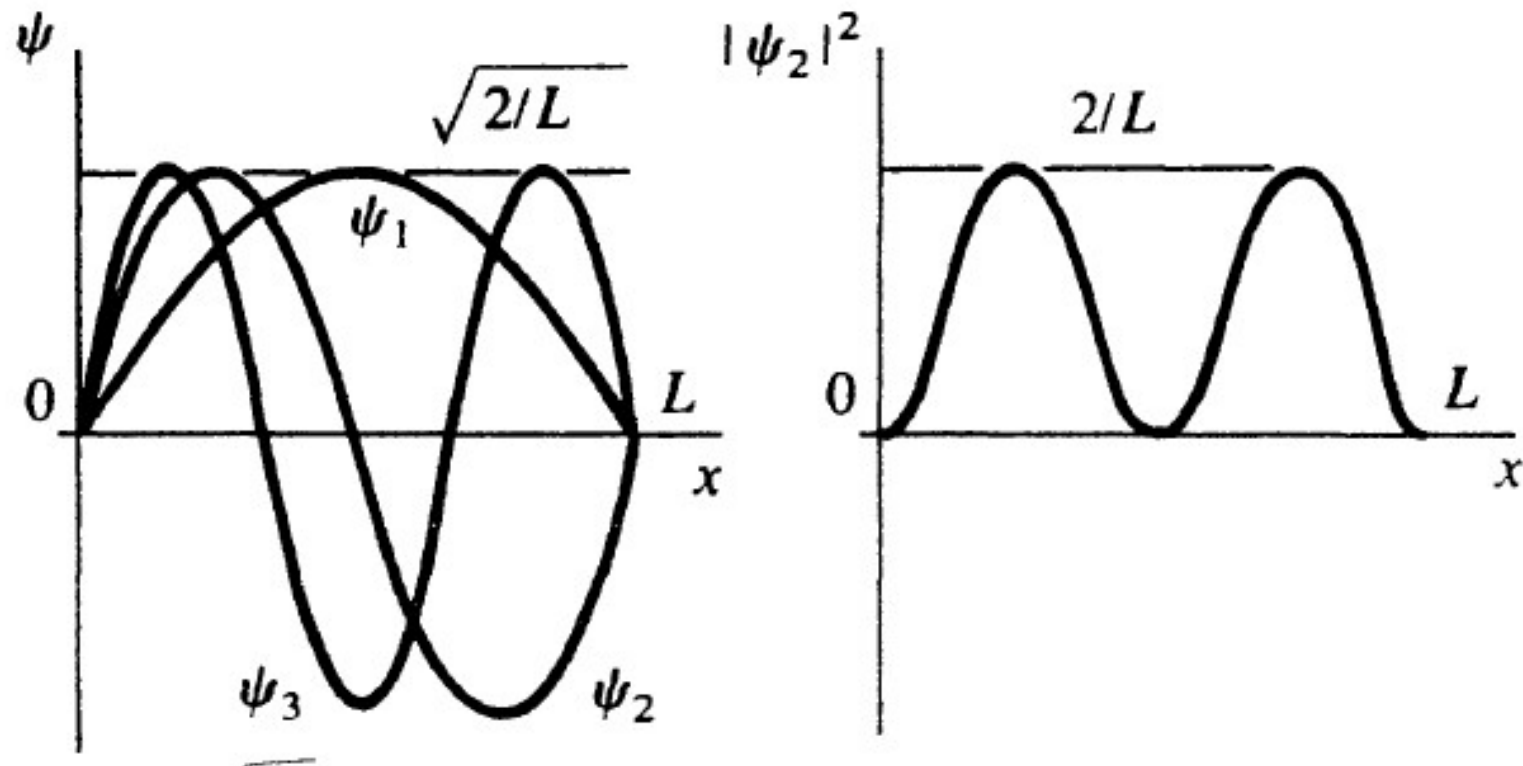
K را عدد موج و عدد صحیح n را، عدد کوانتومی می نامند.

رابطه فوق به خوبی نشان می دهد که برای این ذره مقادیر پیوسته ای انرژی را نمی توان متصور شد، و در اینجا انرژی ذره کوانتیده (گستته) است، و تنها مقادیر معینی از انرژی مجاز هستند.

تابع موج ψ_n و حالت انرژی E_n ، حالت کوانتومی ذره نامیده می شوند. سطوح کوانتیده انرژی توصیف شده توسط معادله فوق در انواع ساختارهای قطعات نیمه رسانا ظاهر می شوند.
برای محاسبه A کافیست شرط ب亨جارت را روی تابع موج اعمال کنیم. خواهیم داشت:

$$A = \sqrt{\frac{2}{L}}, \quad \psi_n = \sqrt{\frac{2}{L}} \sin \frac{n\pi}{L} x$$

رسم توابع موج و توابع چگالی احتمال برای چاه پتانسیل:



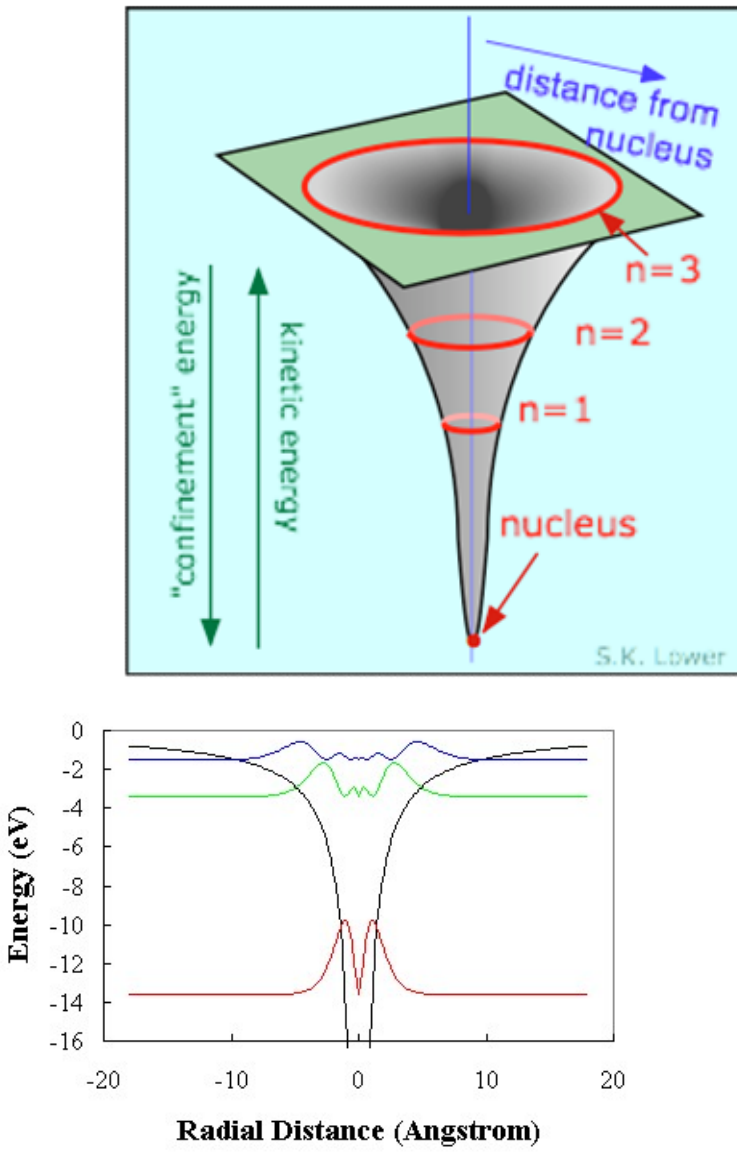
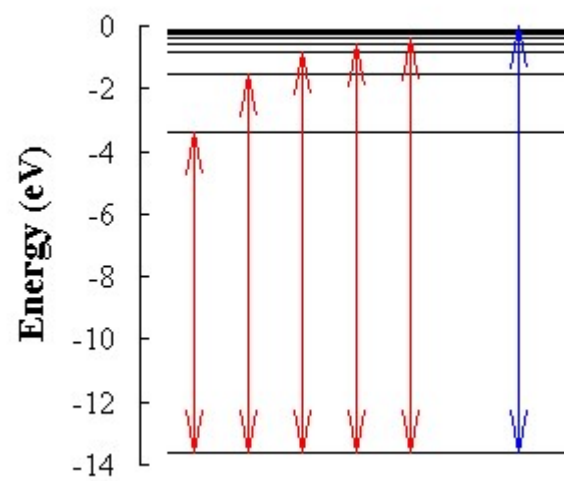
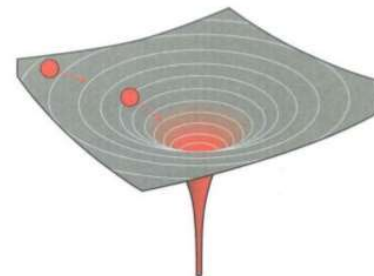
مسئله چاه پتانسیل در اتمها Potential Well در اتمها

Lines of Equipotential and Potential Wells

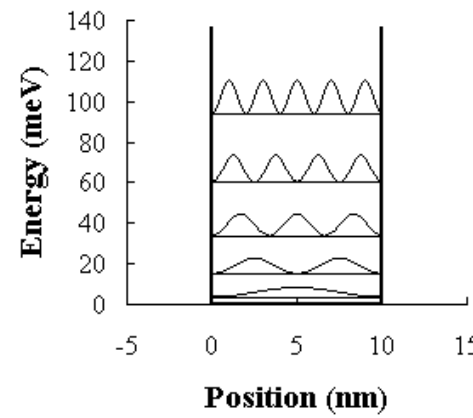
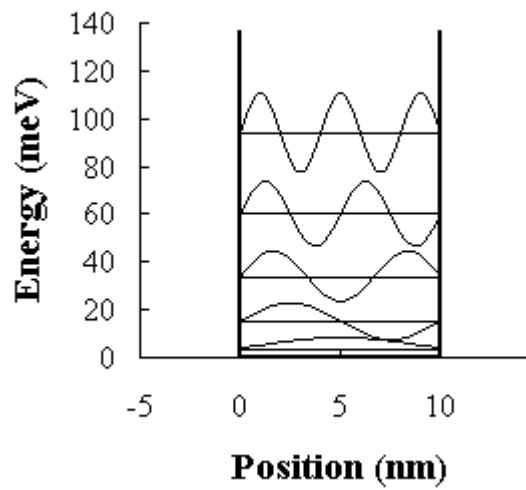
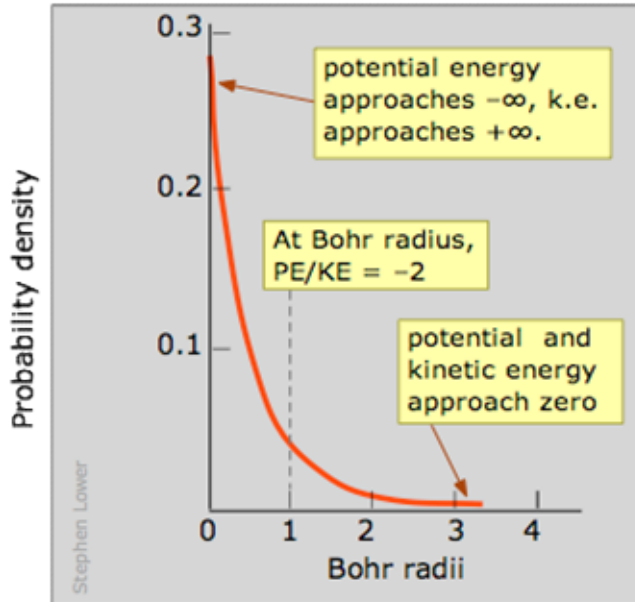
Lines of equipotential around a sphere.



Visualising them as a surface helps us to understand why gravity makes things move. This picture is called a potential well.



مسئله چاه پتانسیل در اتمها



Gravitational Potential (V) Equation

$$F = G \frac{Mm}{r^2}$$

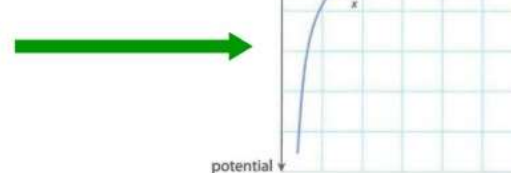
Negative because the force is to move from ∞ to r



The area under a force-distance graph is the same as the Work Done so it can be used to calculate Potential.

The equation is:

$$V = -G \frac{M}{r}$$



Wasserstoffatom

Sphärisch-symmetrisches Problem im Coulomb-Potential

Coulomb-Kraft

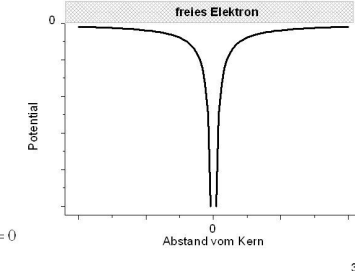
$$F = \frac{Ze^2}{r^2}$$

Coulomb-Potential

$$V = \int F dr = -\frac{Ze^2}{r}$$

Stationäre Schrödinger-Gleichung

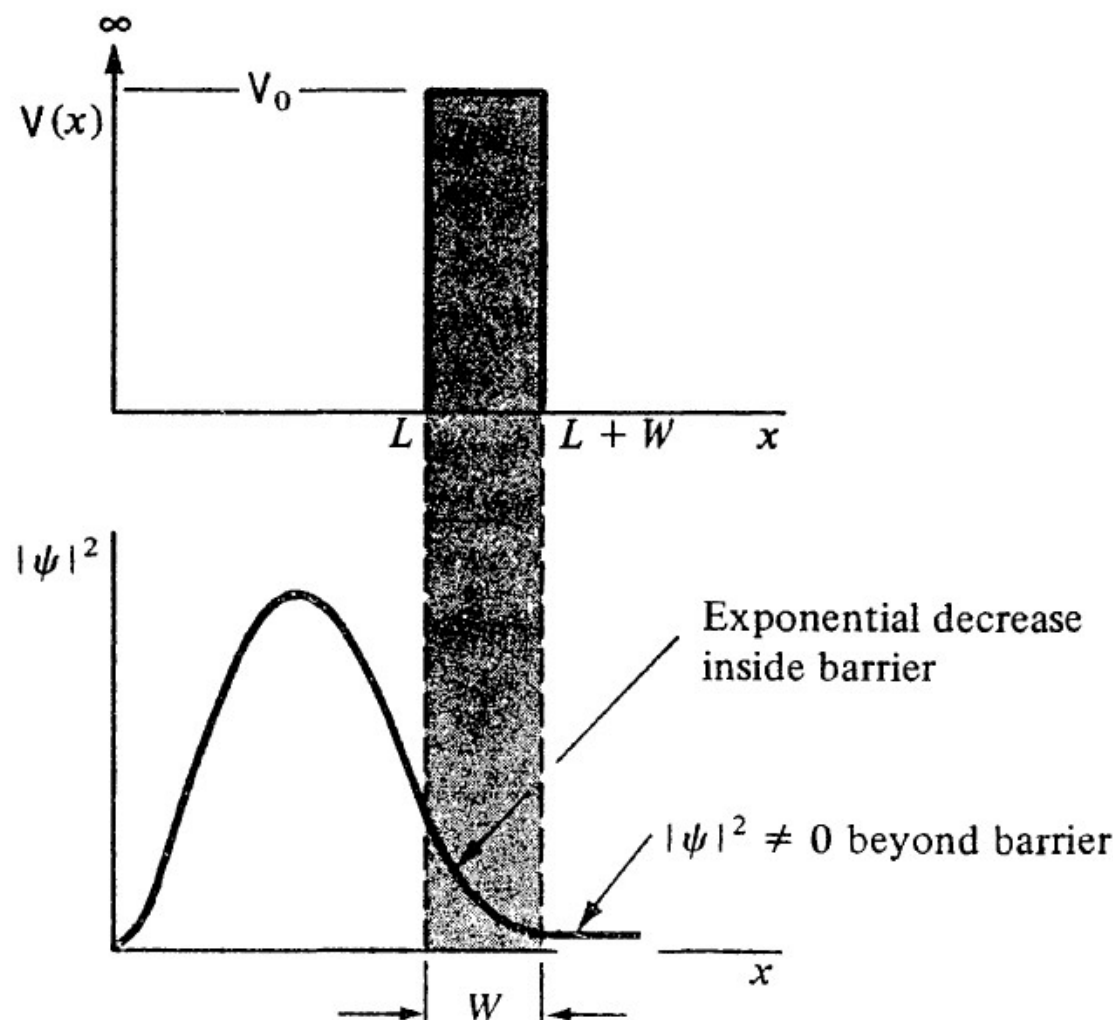
$$\Delta\psi + \frac{2m}{\hbar^2} \left(E + \frac{Ze^2}{r} \right) \psi = 0$$



30

Tunneling

اگر در چاه پتانسیل تغییراتی بصورت شکل زیر ایجاد شود به مسئله ای میرسیم که در قطعات نیمه هادی بسیار اهمیت دارد.



Tunneling توnel زنی

در شکل قبل اگر ذره ای در فاصله $L > x > 0$ قرار گیرد از آنجا که در این ناحیه $V=0$ است و انرژی کل ذره (E) در این ناحیه کمتر از ارتفاع سد (V_0) است یعنی $E < V_0$ ، بنابراین طبق قوانین مکانیک کلاسیک ذره نمی تواند در داخل سد نفوذ کند و یا از سد عبور کند و در ناحیه سمت راست سد، حضور داشته باشد. اما اگر تابع موج ذره را با استفاده از معادله موج شرودینگر بدست آوریم و سپس $|\psi|^2$ را که معادل احتمال حضور ذره در یک نقطه است را محاسبه کنیم، خواهیم دید که از لحاظ مکانیک کوانتومی، احتمال حضور ذره در سمت راست وجود دارد. این مسئله در مکانیک کوانتومی **تونل زنی** نام دارد.

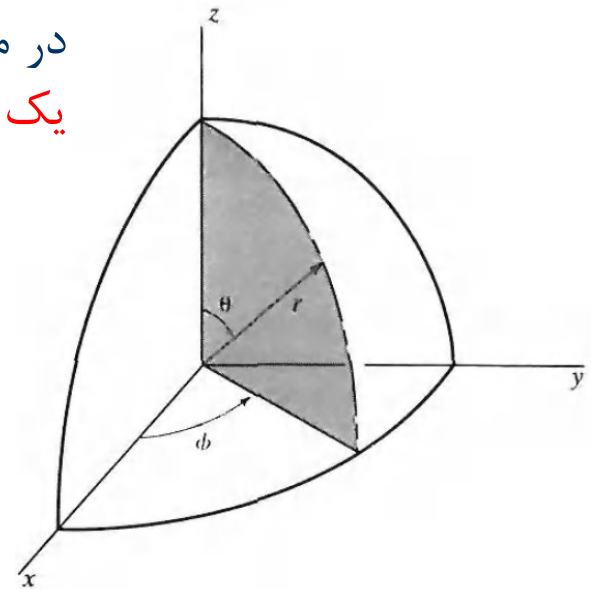
قابل توجه است که هیچگونه قیاس کلاسیک، از جمله توصیف کلاسیک تونل زنی کار درستی نمی باشد.

مقدار احتمال حضور ذره در سمت راست سد به ضخامت سد (W) و ارتفاع سد (V_0) بستگی دارد.

درک نوین نظریه اتمی (مدلهای اتمی نوین) از معادله شرودینگر و مکانیک ماتریسی هایزنبرگ بر گرفته شده است. معادله شرودینگر برهم کنش ذرات با میدانهای پتانسیل، مانند الکترونها در درون اتمها را با دقت تشریح می کند. با این وجود حل مستقیم معادله شرودینگر برای اتمهای پیچیده تر از هیدروژن بسیار مشکل است و باید به روشهای تقریبی و عددی برای حل متولسل شد. هر چند بسیاری از اتمهای یک ظرفیتی را می توان تعمیم نسبتاً ساده ای از اتم هیدروژن در نظر گرفت.

در مورد اتم هیدروژن با توجه به اینکه الکترون در مجاورت پروتون یک پتانسیل کولنی حس می کند، داریم:

$$V(r, \theta, \phi) = V(r) = -(4\pi\epsilon_0)^{-1} \frac{q^2}{r}$$



اگر این پتانسیل را در معادله موج شرودینگر قرار دهیم و بخاطر تقارن کروی، محاسبات را در دستگاه مختصات کروی انجام دهیم و در نظر داشته باشیم که در حالت سه بعدی:

$$\psi(r, \theta, \phi) = R(r)\Theta(\theta)\Phi(\phi)$$

برای معادله موج بر حسب ϕ خواهیم داشت:

$$\frac{d^2\Phi}{d\phi^2} + m^2\Phi = 0$$

که m یک عدد کوانتومی است. از حل این معادله بدست می آید:

$$\Phi_m(\phi) = Ae^{jm\phi}$$

$$A = \frac{1}{\sqrt{2\pi}}$$

و از شرط بهنجارش:

$$\Phi_m(\phi) = \frac{1}{\sqrt{2\pi}}e^{jm\phi} \quad m = \dots, -2, -1, 0, 1, 2, \dots$$

بنابراین:

از حل معادله وابسته به r و θ هم توابعی بدست خواهد آمد که به ترتیب اعداد کوانتومی n و l را برای آنها در نظر می‌گیریم. در تابع موج حاصل، ψ_{nlm} ، مقادیر n ، l و m بصورت زیر با هم ارتباط خواهند داشت:

$$n = 1, 2, 3, \dots$$

$$l = 0, 1, 2, \dots, (n - 1)$$

$$m = -l, \dots, -2, -1, 0, +1, +2, \dots, +l$$

علاوه بر اعداد کوانتومی فوق، شرط کوانتیدگی مهم دیگری در مورد اسپین الکترون یا اندازه حرکت زاویه ای ذاتی، S ، یک الکترون با تابع موج ψ_{nlm} مشخص، وجود دارد:

$$s = \pm \frac{\hbar}{2}$$

با استفاده از چهار عدد کوانتومی n, l, m و s میتوان حالت‌های مجاز انرژی الکترون در اتم هیدروژن را شناسایی کرد.

عدد کوانتومی n موسوم به عدد کوانتومی اصلی است و مشخص کننده مدار الکترون در نظریه بوهر است، که از لحاظ کوانتومی معرف تابع چگالی احتمال می‌باشد. مجموعه حالت‌های یک عدد کوانتومی اصلی را بجای مدار متعلق به یک پوسته می‌دانند.

جدول اسلاید بعد، حالت‌های مجاز الکترون در پوسته‌ها و زیر پوسته‌های اطراف هسته را برای چند عدد کوانتومی اصلی بدست می‌دهد.

بر اساس این جدول، الکترون در یک اتم هیدروژن می‌تواند علاوه بر حالت پایه 100% ، یکی از حالت‌های برانگیخته را اشغال کند.

n	l	m	s/\hbar	Allowable states in subshell	Allowable states in complete shell
1	0	0	$\pm \frac{1}{2}$	2	2
2	0	0	$\pm \frac{1}{2}$	2	8
	1	$\pm \frac{1}{2}$	6		
	0	$\pm \frac{1}{2}$			
	1	$\pm \frac{1}{2}$			
3	0	0	$\pm \frac{1}{2}$	2	18
	1	$\pm \frac{1}{2}$	6		
	0	$\pm \frac{1}{2}$			
	1	$\pm \frac{1}{2}$			
	2	$\pm \frac{1}{2}$	10		
	-2	$\pm \frac{1}{2}$			
	-1	$\pm \frac{1}{2}$			
	0	$\pm \frac{1}{2}$			
	1	$\pm \frac{1}{2}$			
	2	$\pm \frac{1}{2}$			

اصل انحصار پائولی: بر اساس این قانون، در یک سیستم برهم کنشی، هیچ دو الکترونی نمی توانند دارای مجموعه اعداد کوانتومی یکسان n, m, l و s باشند. یعنی دو الکترون می توانند دارای سه عدد کوانتومی n, m, l یکسان باشند ولی باید دارای اسپین مخالف باشند، یعنی در یکی $s = \frac{\hbar}{2}$ و در دیگری $s = -\frac{\hbar}{2}$ باشد.

بنابر این اصل در مدار اول ($n = 1$) که $m = 0$ و $l = 0$ است فقط دو الکترون با اسپین مخالف می توانند قرار بگیرد نه بیشتر. به همین ترتیب حداکثر تعداد الکترونها مجاز هر پوسته و زیر پوسته بدست می آید.

در زیر پوسته های $l = 0, l = 1, l = 2$ به ترتیب حداکثر ۱، ۶ و ۱۰ الکترون می توانند جای گیرد.

آرایشهای الکترونی اتم های مختلف در جدول تناوبی، از این حالت های مجاز استخراج می شوند. معمولاً آرایشهای اتمی را با یک رشته نماد مخفف ساده نمایش می دهند. تنها باید بجای مقادیر l معادل نمادهای زیر را بکار برد:

$$l = 0, 1, 2, 3, 4, \dots$$

$$s, p, d, f, g, \dots$$

بعد از f نامگذاری بترتیب حروف الفبا است.
آرایش الکترونی اتمها در حالت پایه در جدول اسلاید بعد آورده شده است.

جدول تناوبی

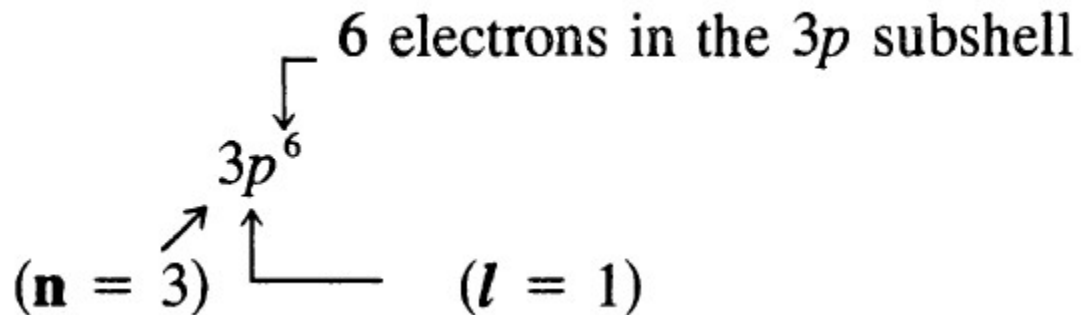


دانشگاه شهرورد

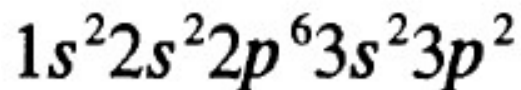
Table 2-2. Electronic configurations for atoms in the ground state.

Atomic number (Z)	Element	n = 1 l = 0	2	3	4	Shorthand notation
		1s 0	2s 1	3s 0 3p 1	3d 2	
		1s	2s 2p	3s 3p 3d	4s 4p	
1	H	1				1s ¹
2	He	2				1s ²
3	Li		1			1s ² 2s ¹
4	Be		2			1s ² 2s ²
5	B		2 1			1s ² 2s ² 2p ¹
6	C	helium core, 2 electrons	2 2			1s ² 2s ² 2p ²
7	N		2 3			1s ² 2s ² 2p ³
8	O		2 4			1s ² 2s ² 2p ⁴
9	F		2 5			1s ² 2s ² 2p ⁵
10	Ne		2 6			1s ² 2s ² 2p ⁶
11	Na			1	[Ne]	3s ¹
12	Mg			2		3s ²
13	Al			2 1		3s ² 3p ¹
14	Si	neon core, 10 electrons	2 2			3s ² 3p ²
15	P		2 3			3s ² 3p ³
16	S		2 4			3s ² 3p ⁴
17	Cl		2 5			3s ² 3p ⁵
18	Ar		2 6			3s ² 3p ⁶
19	K				[Ar]	4s ¹
20	Ca			1		4s ²
21	Sc			2		3d ¹ 4s ²
22	Ti			1 2		3d ² 4s ²
23	V			2 2		3d ³ 4s ²
24	Cr			3 2		3d ⁵ 4s ¹
25	Mn			5 1		3d ⁵ 4s ²
26	Fe			5 2		3d ⁶ 4s ²
27	Co	argon core, 18 electrons		6 2		3d ⁷ 4s ²
28	Ni		7 2			3d ⁸ 4s ²
29	Cu		8 2			3d ¹⁰ 4s ¹
30	Zn		10 1			3d ¹⁰ 4s ²
31	Ga		10 2	1		3d ¹⁰ 4s ² 4p ¹
32	Ge		10 2	2		3d ¹⁰ 4s ² 4p ²
33	As		10 2	3		3d ¹⁰ 4s ² 4p ³
34	Se		10 2	4		3d ¹⁰ 4s ² 4p ⁴
35	Br		10 2	5		3d ¹⁰ 4s ² 4p ⁵
36	Kr		10 2	6		3d ¹⁰ 4s ² 4p ⁶

بعنوان مثال:

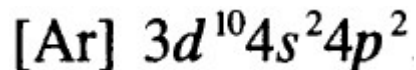


آرایش الکترونی اتم سیلیکون (Si) با $Z=14$:



چهار الکtron ظرفیت در لایه بیرونی ($n=3$) دارد.

همچنین ژرمانیوم Ge ($Z = 32$) دارای چهار الکtron ظرفیت در لایه بیرونی ($n=4$) است.





©2008 Delyan

